

تكوين توزيع توب ليون رايلي المرفوع مع التطبيق

هيفاء عبد الجود سعيد

هند عادل أحمد

قسم الاحصاء والمعلوماتية/ كلية علوم الحاسوب والرياضيات/ جامعة الموصل/ الموصل/ العراق
(قدم للنشر في ٢٠٢٢/١٠/٣ قبل النشر في ٢٠٢٢/١١/٨)

الخلاصة:

ان عائلة Topp-Leone (TL) هي احدى الطرق المستخدمة في تعليم التوزيعات الاحتمالية لجعلها اكثر مرونة في التطبيق. فقد استخدم هذا التعليم في تعليم توزيع رايلي المرفوع Exponentiated Rayleigh (ER)، ودرست خصائص التوزيع الجديد تمثلت بالعزم ذو الرتبة (٢) حول الصفر والوسط والمنوال والرباعيات والدالة المولدة للعزوم واللتواوء والتفلطح. قدرت معلمات التوزيع بطريقة الامكان الاعظم (Maximum likelihood (ML)). طبقت نتائج التقدير على بيانات مولدة بأحجام عينات وقيم مختلفة للمعلمات. مع التطبيق على بيانات تمثلت بأطوال الالياف الكاربونية المشبعة توصل البحث الى اهم الاستنتاجات منها ان معلمة القياس ليس لها اي تأثير على مقياسي اللتواوء والتفلطح في حين ان المعلمة المضافة كان لها تأثير على المقياسيين. وقد اصبح توزيع (TLER) اكثر مرونة من توزيع (ER) وعندما يكون حجم العينة $n=25,50,100$ وتبيّن في الجانب التطبيقي ان متوسط مربعات الخطأ (MSE) يقل بزيادة حجم العينة وثبتت معلمة القياس وعند المقارنة بين MSE للمقدرات عندما = 0.5, 1, 2 فقد تبيّن ان المقدرات عندما $\alpha=0.75$ هي الافضل لامتلاكها اصغر MSE. وان اطوال الالياف الكاربونية تتبع توزيع (TLER).

الكلمات المفتاحية: عائلة Topp-Leone، توزيع رايلي المرفوع، توزيع رايلي، طريقة الامكان الاعظم.

Configure the Top Lion Riley distribution uploaded with the application

Hind Adel Ahmed

Haifa Abdel-Gawad Saeed

Department of Statistics and Informatics/ College of Computer Science
and Mathematics/ University of Mosul/ Mosul/ Iraq

Abstract

The Topp-Leone (TL) family is one of the methods used to generalize probability distributions to make them more flexible in application. This generalization was used to generalize the Exponentiated Rayleigh (ER) distribution, this distribution called Topp Leone Rayleigh (TLR). The statistical properties of the new distribution were studied represented by the r-order moments around zero, median, mode, quartiles, and moment generating function, skewness and kurtosis. The parameters of distribution were estimated by the maximum likelihood (ML) method. The results of the estimation method were applied to data generated with different sample sizes and values for the parameters. With the application of data represented by the lengths of the saturated carbon fibres, the research reached the most important conclusions, including that the scale parameter does not affect the skewness and kurtosis measures. While the additional parameter affected the two measures. The TLER distribution became more flexible than the ER distribution. On the practical side, it was found that the mean square error (MSE) decreases with increasing sample size. When the sample size is $n = 25, 50, 100$ and the scale parameter is fixed, and When $\lambda = 0.5, 1, 2$ it was found that the estimators when $\alpha = 0.75$ are the best for having the smallest MSE. The lengths of carbon fibres follow the TLER distribution.

Keywords: Topp-Leone Family, Exponentiated Rayleigh Distribution, Rayleigh Distribution, maximum likelihood Method.

١. المقدمة

لقد حظيت التوزيعات الاحتمالية اهتماماً كبيراً من أجل تحقيق مرونة أفضل في نمذجة العديد من الظواهر إذ تفتقر التوزيعات الاحتمالية المعروفة إلى تلك المرونة بالأساس عند وجود التواء في بيانات الظواهر المعقدة لذلك فقد تزايد اهتمام الباحثين إلى تعميم تلك التوزيعات لتصبح أكثر مرونة في التطبيق. يعتمد أسلوب التعميم على إضافة معلمات إلى معلمات التوزيعات الأساسية

فقد استندت بعض تلك الطرق على توزيع بيتا او توزيعات احتمالية من توزيع بيتا بحيث يكون منطلق (Domain) المتغير يقع ضمن الفترة [٠,١] فقد قدم (Eugene et al ٢٠٠٢) عائلة توزيع بيتا مستخدمين الدالة التجمعية لمتغير عشوائي $w \sim \text{Beta}(a,b)$:

$$F(x) = \frac{1}{B(a,b)} \int_0^x w^{a-1} (1-w)^{b-1} dw \quad (1)$$

فإذا تم استبدال (x) بالدالة التجمعية (G(x)) لأي توزيع اساسي فإن عائلة الدالة التجمعية لبيتا المعممة تصبح بالشكل الآتي:

$$(1-w)^{b-1} dw \quad (2) F(x) = \frac{1}{B(a,b)} \int_0^{G(x)} w^{a-1}$$

حيث ان $B(a,b)$ تتمثل دالة بيتا الكاملة

اقترحت توزيعات احتمالية ابسط من توزيع بيتا ومعرفة ضمن الفترة المغلقة (٠,١) كتوزيع كوماراسومي وتوزيع توب - ليون فقد قدم عائلة توزيعات كوماراسومي اذ ان الدالة التجمعية لهذه العائلة تأخذ الشكل الآتي: Cordiero and Castro (2011)

$$F(x) = 1 - (1 - (G(x))^{\alpha})^{\beta}$$

قدم (Nadarajah and Kotz 2013) توزيع توب ليون الذي يعد من ابسط التوزيعات الاحتمالية الذي استخدمه الاصنائين كبديل عن توزيع بيتا حيث ان دالته التجمعية تأخذ الشكل الآتي:

$$F_{TL(x)} = x^{\alpha} (2-x)^{\alpha} \quad 0 < x < 1, \alpha > 0 \quad (3) \quad \text{حيث ان}$$

واستخدم (Shomrani et al 2016) الدالة التجمعية المعرفة في المعادلة (٣) اعلاه ليقدموا تعليميا جديدا كبديل عن تعليم بيتا سمي بعائلة توزيعات توب ليون حيث ان الدالة التجمعية لهذا التعليم تأخذ الشكل الآتي:

$$- \infty < x < \infty, \alpha > 0 \quad (4) G_{TL-G(x)} = (F(x))^{\alpha} (2 - F(x))^{\alpha}$$

باشتقاء طرفي المعادلة (٤) نحصل على دالة الكثافة الاحتمالية لعائلة توب ليون وهي كالتالي :

$$g_{TL-G(x)} = 2\alpha f(x)(1-F(x))F(x)^{\alpha-1}(2-F(x))^{\alpha-1} \quad (5)$$

واعطوا (Shomrani et al 2016) مثلا عن استخدام التعليم المعرف في المعادلة (٤) على التوزيع الاسي واستخدم (Saiary and Bakoban 2020) هذا التعليم على التوزيع الاسي المقلوب المعمم للتوزيع الاساسي ودرست خصائص التوزيع ومقدراته بطريقة الامكان الاعظم (ML)

يعد توزيع رايلى المرفوع هو تعليم لتوزيع رايلى والذي نتج من رفع الدالة التجمعية لتوزيع رايلى لقوى معينة موجبة فإذا كان المتغير العشوائي (λ, θ) $x \sim ER(\lambda, \theta)$ تكون الدالة التجمعية دالة كثافة الاحتمال للتوزيع تأخذ الشكل الآتي:

$$F(x) = (1 - e^{-\theta x^2})^{\lambda} \quad (6)$$

$$f(x) = \begin{cases} 2\lambda\theta x e^{-\theta x^2} (1 - e^{-\theta x^2})^{\lambda-1} \\ 0. w \end{cases} \quad \lambda, \theta, x > 0 \quad (7)$$

فإذا كان توزيع ER هو توزيع اساسي وبتعويض كل من ($F(x)$ و $f(x)$) المعرفة في المعادلتين (٦) و (٧) بالمعادلتين (٤) و (٥) العامة نحصل على دالة الكثافة الاحتمالية والدالة التجمعية لتوزيع توب ليون رايلى المرفوع وكما بالصورة الآتية :

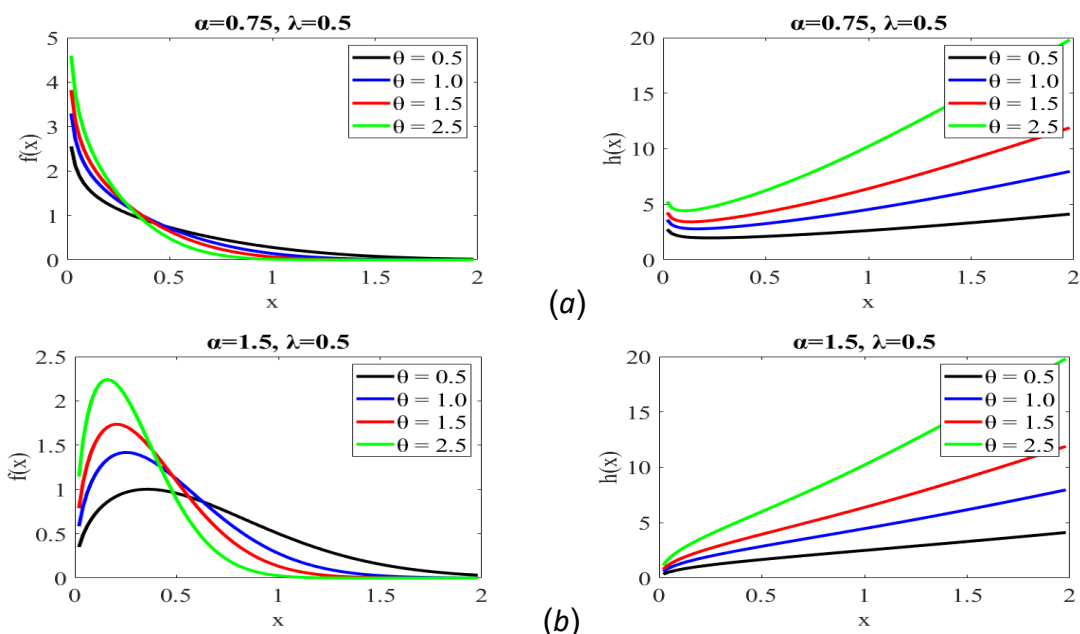
$$G(x) = (1 - e^{-\theta x^2})^{\lambda\alpha} (2 - (1 - e^{-\theta x^2})^{\lambda})^{\alpha} \quad (8)$$

$$g(x) = \begin{cases} 4\alpha\theta\lambda xe^{-\theta x^2}(1-e^{-\theta x^2})^{\lambda\alpha-1}(1-(1-e^{-\theta x^2})^\lambda)(2-(1-e^{-\theta x^2})^\lambda)^{\alpha-1} & x, \alpha, \theta, \lambda > 0 \\ 0 & \text{otherwise} \end{cases} \quad (9)$$

يوصف هذا التوزيع بـ $x \sim \text{TLER}(\alpha, \theta, \lambda)$ اذ ان λ و θ تمثل معلمتي الشكل و α تمثل معلمة القياس وتكون دالتي الموثوقية والخطر معرفتين وفق المعادلين (٩) و (١٠) على الترتيب:

$$s(x) = 1 - (1-e^{-\theta x^2})^{\lambda\alpha}(2-(1-e^{-\theta x^2})^\lambda)^\alpha \quad (10)$$

$$h(x) = \frac{4\alpha\theta\lambda xe^{-\theta x^2}(1-e^{-\theta x^2})^{\lambda\alpha-1}(1-(1-e^{-\theta x^2})^\lambda)(2-(1-e^{-\theta x^2})^\lambda)^{\alpha-1}}{1-(1-e^{-\theta x^2})^{\lambda\alpha}(2-(1-e^{-\theta x^2})^\lambda)^\alpha} \quad (11)$$



الشكل ١ . رسم دالتي كثافة الاحتمال والخطر لتوزيع TLER عند قيم مختلفة للمعلمات.

٢. خصائص التوزيع:

يتم في هذا الجزء دراسة بعض خصائص توزيع TLER وكالاتي:

العزم ذو الرتبة r حول الصفر:

يكون العزم ذو الرتبة r حول الصفر للمتغير العشوائي x هو:

$$Ex^r = 4\alpha\theta\lambda x \int_0^\infty x^{r+1} e^{-\theta x^2} (1-e^{-\theta x^2})^{\lambda\alpha-1}(1-(1-e^{-\theta x^2})^\lambda)(2-(1-e^{-\theta x^2})^\lambda)^{\alpha-1} dx \quad (12)$$

حيث ان r هو عدد صحيح موجب

وباستخدام مفهوك ذو الحدين على المقدار $(1-e^{-\theta x^2})^\lambda - (1-e^{-\theta x^2})^{\lambda-1}$ وبعد اجراء التبسيطات الرياضية نحصل على:

$$Ex^r = 2^{\alpha+1}\alpha\theta\lambda \sum_{k=0}^{\infty} C_k^{\alpha-1} \left(-\frac{1}{2} \right)^k \left[\int_0^\infty x^{r+1} e^{-\theta x^2} (1-e^{-\theta x^2})^{\lambda(\alpha+k)-1} dx - \int_0^\infty x^{r+1} e^{-\theta x^2} (1-e^{-\theta x^2})^{\lambda(\alpha+k+1)-1} dx \right] \quad (13)$$

وباستخدام مفهوك ذو الحدين على المقدارين $(1 - e^{-\theta x^2})^{\lambda(\alpha+k+1)-1}$ و $(1 - e^{-\theta x^2})^{\lambda(\alpha+k)-1}$ واجراء التبسيطات الرياضية تصبح المعادلة (١٢).

$$\begin{aligned} Ex^r &= 2^{\alpha+1} \alpha \theta \lambda \sum_{k=0}^{\infty} \frac{-1}{2} C_k^{\alpha-1} \sum_{j=0}^{\infty} (-1)^j C_j^{\lambda(\alpha+k)-1} \frac{\Gamma_{\frac{r+2}{2}}}{2((j+1)\theta)^{\frac{r+2}{2}}} - \\ &\sum_{k=0}^{\infty} \frac{-1}{2} C_k^{\alpha-1} \sum_{r=0}^{\infty} C_r^{\lambda(\alpha+k+1)-1} \frac{\Gamma_{\frac{r+2}{2}}}{2((r+1)\theta)^{\frac{r+2}{2}}} \end{aligned} \quad (14)$$

المنوال:

يمثل المنوال قيمة المتغير العشوائي (x) الذي يجعل ($f(X)$) التي سبق تعريفها في المعادلة (٨) ليتمثل حلّاً للمعادلة الآتية نسبة إلى (x):

$$\frac{1}{x} - 2\theta x + (\lambda\alpha - 1) \frac{2\theta x e^{-\theta x^2}}{(1 - e^{-\theta x^2})} - \frac{2\lambda\theta x e^{-\theta x^2} (1 - e^{-\theta x^2})^{\lambda-1}}{(1 - (1 - e^{-\theta x^2})^\lambda)} - (\alpha - 1) \frac{2\lambda\theta x e^{-\theta x^2} (1 - e^{-\theta x^2})^{\lambda-1}}{(2 - (1 - e^{-\theta x^2})^\lambda)} = 0 \quad (15)$$

تستخدم الطرق العددية كطريقة نيوتن رافسون في حل المعادلة (١٣) وقد حسب المنوال عند قيم مختلفة للمعلمات والنتائج مبينة في الجدول (١).

الجدول ١ . مقاييس الالتواء والتفلطح والوسط والمتوسط لتوزيع TLER عند قيم مختلفة للمعلماته.

λ	α	Θ	Mo	Me	SK	Kur
0.5	0.75	0.5	.	0.3199	0.235	1.1993
		1	.	0.2262	0.235	1.1993
		1.5	.	0.1847	0.235	1.1993
		2.5	.	0.1431	0.235	1.1993
	1.5	0.5	0.3567	0.5772	0.1281	1.2013
		1	0.2522	0.4081	0.1281	1.2013
		1.5	0.206	0.3322	0.1281	1.2013
		2.5	0.1595	0.2581	0.1281	1.2013

دالة الربعات:

يتم ايجاد دالة الربعات في حل المعادلة (١٤) ادناه نسبة الى (x) وهي:

$$(1 - e^{-\theta x^2})^{\lambda\alpha} (2 - (1 - e^{-\theta x^2})^\lambda)^\alpha = q$$

وبعد اجراء التبسيطات على المعادلة (١٤) تصبح بالشكل الآتي :

$$2(1 - e^{-\theta x^2})^\lambda - ((1 - e^{-\theta x^2})^\lambda)^2 = (q)^{\frac{1}{\alpha}} \quad (16)$$

نفرض ان

$$w = (1 - e^{-\theta x^2})^\lambda \quad (17)$$

بتعميض المعادلة (١٦) في المعادلة (١٥) نحصل على:

$$w^2 - 2w + (q)^{\frac{1}{\alpha}} = 0 \quad (18)$$

يتم حل المعادلة (١٧) نسبة الى w نحصل على:

$$w = \frac{2 \pm \sqrt{4 - 4(q)\alpha}}{2}$$

ويتم اختيار w التي تكون قيمتها محصورة بين (٠,١٠) حيث ان

$$w = \frac{2 - \sqrt{4 - 4(q)\alpha}}{2} \quad (19)$$

بتعويض المعادلة (١٨) في المعادلة (١٦) واجراء العديد من العمليات الرياضية تكون دالة الربعات هي:

$$x(q) = \sqrt{\frac{-\ln(1-(q)\alpha)}{\theta}} \quad (20)$$

حيث ان $q < 1$ ونستخدم المعادلة (١٩) في توليد المشاهدات العشوائية من توزيع TLER وعند التعويض عن $\frac{1}{2} = q$ نحصل على الوسيط للتوزيع عند $\frac{1}{4} = q$ نحصل على الربع الاول وعندما $\frac{3}{4} = q$ نحصل على الربع الثالث وحسب الوسيط عند قيم مختلفة للمعلمات وكما مبين في الجدول (١).

الالتواه والتفلطح:

يتم ايجاد الالتواه والتفلطح رياضيا باستخدام دالة الربعات من خلال الصيغ الآتية على التوالي:

$$skewness = \frac{Q(3/4)+Q(1/4)-2Q(1/2)}{Q(3/4)-Q(1/4)} \quad (21)$$

$$kurtosis = \frac{Q(3/8)-Q(1/8)+Q(7/8)-Q(5/8)}{Q(6/8)-Q(2/8)} \quad (22)$$

حسب مقاييس الالتواه والتفلطح عند قيم مختلفة للمعلمات وكما مبينة في الجدول (١)

الدالة المولدة للعزوم (m.g.f) :

تقوم الدالة المولدة للعزوم للمتغير العشوائي (x) لتوزيع TLER

$$M_x(t) = 4\alpha\theta\lambda \int_0^{\infty} e^{tx} e^{-\theta x^2} (1 - e^{-\theta x^2})^{\lambda\alpha-1} (1 - (1 - e^{-\theta x^2})^{\lambda}) (2 - (1 - e^{-\theta x^2})^{\lambda}) \quad (23)$$

وباستخدام مفهوك ماكلوريان على e^{tx} واجراء التبسيطات الرياضية تكون (m.g.f) بالشكل الآتي :

$$M_x(t) = 2^{\alpha+1}\alpha\theta\lambda \sum_{m=0}^{\infty} \frac{t^m}{m!} \sum_{k=0}^{\infty} \frac{-1}{2} C_k^{\alpha-1} \sum_{j=0}^{\infty} (-1)^j C_j^{\lambda(\alpha+k)-1} \frac{\Gamma_{\frac{m+2}{2}}}{2((j+1)\theta)^{\frac{m+2}{2}}} - \sum_{k=0}^{\infty} \frac{-1}{2} C_k^{\alpha-1} \sum_{r=0}^{\infty} C_r^{\lambda(\alpha+k+1)-1} \frac{\Gamma_{\frac{m+2}{2}}}{2((r+1)\theta)^{\frac{m+2}{2}}} \quad (24)$$

التقدير بطريقة الامكان الاعظم (ML)

يتم في هذا الجزء تقدير معلمات التوزيع بطريقة (ML) وبفرض جميع المعلمات غير معلومة وعند توفر (n) من المشاهدات العشوائية تكون دالة الامكان بالشكل الآتي:

$$L(\alpha, \theta, \lambda) = 4^n \alpha^n \theta^n \lambda^n \prod_{i=1}^n x_i e^{-\theta \sum_{i=1}^n x_i^2} \prod_{i=1}^n (1 - e^{-\theta x_i^2})^{\lambda\alpha-1} \prod_{i=1}^n (1 - (1 - e^{-\theta x_i^2})^{\lambda}) \prod_{i=1}^n (2 - (1 - e^{-\theta x_i^2})^{\lambda})^{\alpha-1} \quad (25)$$

بأخذ اللوغارتم الطبيعي لطيفي المعادلة (٢٤) نحصل على:

$$\ln l(\alpha, \theta, \lambda) = n \ln 4 + n \ln \alpha + n \ln \theta + n \ln \lambda + \sum_{i=1}^n \ln x_i - \theta \sum_{i=1}^n x_i^2 + (\lambda \alpha - 1) \sum_{i=1}^n \ln(1 - e^{-\theta x_i^2}) + \sum_{i=1}^n \ln(1 - (1 - e^{-\theta x_i^2})^\lambda) + (\alpha - 1) \sum_{i=1}^n \ln(2 - (1 - e^{-\theta x_i^2})^\lambda) \quad (26)$$

بأخذ المشتقات الجزئية الاولى لطيفي المعادلة (٢٥) نسبة الى λ و α و مساواة المشتقات الجزئية بالصفر نحصل على:

$$\frac{n}{\alpha} + \lambda \sum_{i=1}^n \ln(1 - e^{-\theta x_i^2}) + \sum_{i=1}^n \ln(2 - (1 - e^{-\theta x_i^2})^\lambda) = 0 \quad (27)$$

$$\frac{n}{\theta} - \sum_{i=1}^n x_i^2 + (\lambda \alpha - 1) \sum_{i=1}^n \frac{x_i^2 e^{-\theta x_i^2}}{(1 - e^{-\theta x_i^2})} - \sum_{i=1}^n \frac{\lambda x_i^2 e^{-\theta x_i^2} (1 - e^{-\theta x_i^2})^{\lambda-1}}{(1 - (1 - e^{-\theta x_i^2})^\lambda)} - (\alpha - 1) \sum_{i=1}^n \frac{\lambda x_i^2 e^{-\theta x_i^2} (1 - e^{-\theta x_i^2})^{\lambda-1}}{(2 - (1 - e^{-\theta x_i^2})^\lambda)} = 0 \quad (28)$$

$$\frac{n}{\lambda} + \alpha \sum_{i=1}^n \ln(1 - e^{-\theta x_i^2}) - \sum_{i=1}^n \frac{2\lambda \theta x_i e^{-\theta x_i^2} (1 - e^{-\theta x_i^2})^{\lambda-1}}{(1 - (1 - e^{-\theta x_i^2})^\lambda)} - (\alpha - 1) \sum_{i=1}^n \frac{2\lambda \theta x_i e^{-\theta x_i^2} (1 - e^{-\theta x_i^2})^{\lambda-1}}{(2 - (1 - e^{-\theta x_i^2})^\lambda)} = 0 \quad (29)$$

ان منظومة المعادلات الالخطية ٢٦ و ٢٨ يتم حلها بأحد الطرق العددية كطريقة نيوتن رافسون

التوزيع التقريبي لمتجه المعلمات المقدرة $(\underline{\delta}, \underline{V})$ هو $\underline{\delta} \sim \hat{\underline{\delta}}$ حيث ان

$$V = - \left[\frac{\partial^2 \ln L(\underline{\delta})}{\partial \underline{\delta} \partial \underline{\delta}^T} \right]^{-1}$$

٣. الجانب التطبيقي:

يتضمن هذا الجزء استخدام بيانات مولدة من توزيع TLER مع استخدام بيانات حقيقة البيانات المولدة:

تم توليد مشاهدات عشوائية من توزيع TLER بأحجام عينات مختلفة ($n=25, 50, 100$) وقيم مختلفة للمعلمات α ($0.75, 1.5, 2.5$) و θ ($0.5, 1, 1.5, 2.5$) و λ ($0.5, 1, 2$) وقد استخدمت الدالة العكسية المعرفة في المعادلة (١٩) في توليد مشاهدات العينات وكررت التجربة ١٠٠٠ مرة. قدرت معلمات التوزيع بطريقة (ML) وباستخدام طريقة نيوتن رافسون في حل المعادلات الالخطية المعرفة في المعادلات (٢٦-٢٨) وحسب معيار متعدد مربعات الخطأ (MSE) والنتائج مبينة في الجدول (٢):

الجدول ٢ . مقدر الامكان الاعظم ومتوسط مربعات الخطأ لمعلمات توزيع TLER عند قيم مختلفة للمعلمات

λ	n	α	θ	$\hat{\alpha}$	$\hat{\theta}$	$\hat{\lambda}$	MSE	
0.5	25	0.75	0.5	0,٨٧١٨	0,٦٨٩٢	0,٦٦٨٣	0,٥٨٥٦	
			1	0,٧٧٠٢	1,٢٦٢٥	0,٧٤٤	0,٩١٢٦	
			1.5	0,٨٦٣٨	1,٧٥١٧	0,٦٠٦	0,٦٧٢٨	
			2.5	0,٩٤١٩	٢,٨٥٨٤	0,٥٧٨٦	١,١٤٧	
	50		0.5	0,٨٠٩٩	0,٥٥٨٦	0,٥٩٣٩	0,٣٠٢١	
			1	0,٧٨٦	1,٠٧٩٩	0,٥٦٥	0,٢٤٨	
			1.5	0,٨٩٤٣	1,٥٧٧٣	0,٥٢٣١	0,٤٦١	
			2.5	0,٨٤٨٦	٢,٦٠٨٥	0,٥٥٦	0,٤١٩	
	100		0.5	0,٧٦٩٢	0,٥٥١٧	0,٦٧٨٦	0,٤٢	
			1	0,٨٤٥٩	1,٠٨٧٦	0,٥٨٣٦	0,٣٥٣	
			1.5	0,٧١٥٦	١,٦٧٧٨	0,٦٨١٩	0,٥٢٨	
			2.5	0,٧٥٥٦	٢,٦٢٢٧	0,٦١٣٧	0,٥٦٤	
2.5	25	1.5	0.5	1,٤٦	0,٦٣٧٣	0,٧٢٥٣	0,٨٠٤٥	
			1	1,٣٨٧	1,٢٣٩١	0,٧٦٢٤	1,٠٢٣٥	
			1.5	1,٤٩٠٨	١,٩٣٤٢	0,٦٩٥٥	١,٣٨٢٥	
			2.5	١,٦٨٥٦	٢,٨٧٥٧	0,٥٣٩٦	١,١٢٨٦	
	50		0.5	1,٤٧٣	0,٥٧١٦	0,٥٩٢٦	0,٢٧٩٢	
			1	1,٥١٣٥	١,٠٥٨٦	0,٥٥٦	0,٢٧٨١	
			1.5	١,٤٣٨٢	١,٦٤٩٣	0,٥٨٩٧	0,٤٥٢٢	
			2.5	١,٥٠٢٣	٢,٧٠٩٧	0,٥٨٤	0,٥٧٦٥	
	100		0.5	١,٣٩٠١	0,٥١٨٤	0,٥٦٠٢	0,١٦٥٢	
			1	١,٤٦٢٥	١,٠٤٧١	0,٥٤٩٩	0,٢٠٢٩	
			1.5	١,٣٩٢٢	١,٦٣٣٣	0,٥٩٧	0,٣٧٨٥	
			2.5	١,٣٧٤٣	٢,٥٢١٢	0,٥٧٥٥	0,٣٨٦١	

λ	n	α	θ	$\hat{\alpha}$	$\hat{\theta}$	MSE	
1	25	0.75	0.5	0.8273	0.5272	0.0905	
			1	0.8497	1.1183	0.1001	
			1.5	0.8401	1.7905	0.3608	
			2.5	0.8321	2.8001	0.78	
	50		0.5	0.7903	0.5288	0.0302	
			1	0.790	1.0039	0.0746	
			1.5	0.8054	1.7392	0.1393	
			2.5	0.7897	2.6024	0.364	
	100		0.5	0.7461	0.5073	0.0100	
			1	0.7688	1.0364	0.0374	
			1.5	0.7686	1.0272	0.0092	
			2.5	0.7613	2.0239	0.1100	
2	25	1.5	0.5	1.7003	0.5009	0.3219	
			1	1.0580	1.033	0.2708	
			1.5	1.7193	1.098	0.6223	
			2.5	1.7319	2.7163	1.0401	
	50		0.5	1.7496	0.5268	0.1034	
			1	1.0589	1.0183	0.1791	
			1.5	1.7193	1.082	0.2166	
			2.5	1.7041	2.7317	0.3466	
	100		0.5	1.5204	0.5088	0.0611	
			1	1.0533	1.0207	0.0726	
			1.5	1.5329	1.0082	0.0807	
			2.5	1.5930	2.7109	0.1949	
3	25	2.5	0.5	2.5922	0.5167	0.527	
			1	2.9434	1.0783	1.079	
			1.5	2.9022	1.6179	1.3016	
			2.5	3.0680	2.6678	3.8091	
	50		0.5	2.7409	0.5184	0.4388	
			1	2.6341	1.0216	0.3581	
			1.5	2.7781	1.0018	0.354	
			2.5	2.6305	2.510	0.5127	
	100		0.5	2.6042	0.5091	0.1475	
			1	2.576	1.0163	0.1763	
			1.5	2.6047	1.0314	0.3017	
			2.5	2.6101	2.5431	0.282	

λ	n	α	θ	$\hat{\alpha}$	$\hat{\theta}$	$\hat{\lambda}$	MSE	
2	25	0.75	0.5	0.8716	0.5395	2.1201	0.484	
			1	0.8847	1.0667	2.0055	0.5896	
			1.5	1.1097	1.637	2.0418	1.4604	
			2.5	1.2145	2.8059	2.1166	2.4802	
	50		0.5	0.81	0.5216	1.9974	0.1214	
			1	0.9499	1.0088	1.9926	0.7655	
			1.5	1.0053	1.0396	1.9783	0.9805	
			2.5	0.9427	2.0398	1.998	0.9072	
	100		0.5	0.8418	0.5048	2.0382	0.4971	
			1	0.8576	0.9933	1.9132	0.2809	
			1.5	0.9364	1.0082	1.8936	0.5693	
			2.5	0.8883	2.0123	1.9927	0.7032	
	25		0.5	1.0674	0.5188	2.104	0.4177	
			1	1.6593	1.0484	2.0989	0.7424	
			1.5	1.8172	1.0877	2.2761	2.0487	
			2.5	1.7963	2.780	2.4942	3.2010	
	50		0.5	1.0842	0.5092	2.0746	0.4188	
			1	1.6564	1.0361	2.0698	0.5509	
			1.5	1.7074	1.0603	2.038	0.6182	
			2.5	1.6636	2.6207	2.134	1.1365	
	100		0.5	1.0399	0.5076	2.0778	0.2077	
			1	1.0539	1.0093	1.9926	0.1053	
			1.5	1.6277	1.0206	2.0416	0.5067	
			2.5	1.6063	2.6127	2.3067	1.4377	
	25		0.5	2.0762	0.5286	2.1442	0.2999	
			1	2.6096	1.0118	2.1062	1.2286	
			1.5	2.0671	1.6383	2.3996	1.4582	
			2.5	2.7167	2.6781	2.4798	3.2203	
	50		0.5	2.0642	0.5175	2.1283	0.3191	
			1	2.5057	1.0281	2.126	0.6483	
			1.5	2.6641	1.0504	2.1402	1.2722	
			2.5	2.4042	2.7311	2.0723	2.3589	
	100		0.5	2.0577	0.4992	2.0094	0.0431	
			1	2.5429	1.0239	2.0602	0.0972	
			1.5	2.0732	1.0421	2.1621	0.921	
			2.5	2.650	2.633	2.201	1.5207	

نلاحظ من الجدول (٢) اعلاه:

١- يقل MSE لمقدرات ML بزيادة حجم العينة وثبت معلمات التوزيع

• البيانات الحقيقية:

تم استخدام بيانات Ahmed et al (2021) اطوال الالياف الكاربونية المشبعة (بمقاييس ١٠ ملليمتر) تحت الشد والجدول (٣) يمثل بيانات الدراسة.

الجدول ٣. اطوال الالياف الكاربونية المشبعة مقاسة بالعشرة ملليمتر تحت تأثير الشد.

1.901, 2.132, 2.203, 2.228, 2.257, 2.350, 2.361, 2.396, 2.397, 2.445, 2.454, 2.474, 2.518, 2.522, 2.525, 2.532, 2.575, 2.614, 2.616, 2.618, 2.624, 2.659, 2.675, 2.738, 2.740, 2.856, 2.917, 2.928, 2.937, 2.977, 2.996, 3.030, 3.125, 3.139, 3.145, 3.220, 3.223, 3.235, 3.243, 3.264, 3.272, 3.294, 3.332, 3.346, 3.377, 3.408, 3.435, 3.493, 3.501, 3.537, 3.554, 3.562, 3.628, 3.852, 3.871, 3.886, 3.971, 4.024, 4.027, 4.225, 4.395, 5.020
--

تم اختبار جودة توفيق البيانات المبنية في الجدول (٣) اعلاه باختباري مربع كاي وكولموگروف سمير نوف عند مستوى معنوية (٠٠٥) وكانت النتائج مبنية بالجدول (٤) الآتي:

الجدول ٤ . اختبار حسن المطابقة لبيانات الدراسة

test	Calculated value	Critical value
Chi-squar	٢.٨٥٤	٣.٨٤١
k.s.	٠.٠٨٤٦	٠.١٧٦

لذلك فان بيانات الجدول (٣) تتبع توزيع TLER

قدرت معلمات التوزيع بطريقة الامكان الاعظم وكما مبينة في الجدول (٥) ادناه:

الجدول ٥ . مقدرات الامكان الاعظم لمعلمات توزيع TLER للبيانات الحقيقية

Parameters	ML	MSE
α	31.9824840	16.23672
θ	0.5291509	0.0001805998
λ	0.1508879	0.00617105

٤. الاستنتاجات:

تلخص اهم الاستنتاجات في البحث بالاتي:

١. ليس لمعلمة القياس اي تأثير على مقياس الالتواء والتقطح بينما المعلمة المضافة α لها تأثير على الالتواء والتقطح حيث يقل الالتواء ويزداد التقطح بزيادة قيمة المعلمة المضافة.
٢. لقد اصبح توزيع TLER اكثر مرونة من توزيع ER وهذا واضح من الاشكال المختلفة لمنحنى دالة المخاطرة للتوزيع حيث يكون في (a) منحنى دالة كثافة الاحتمال يأخذ الشكل الاسي المتراقص بسرعة بينما دالة الخطر تأخذ الشكل (J) المتزايد ببطء ويقترب من الشكل الخطى عندما تكون معلمة القياس $\theta = 0.5$ بينما في الشكل (b) اخذ منحنى الالتواء الموجب ومنحنى دالة الخطر اخذ شكل (J) المقلوب والممتزاز ببطء.
٣. يقل متوسط مربعات الخطأ لمقدرات ML بزيادة حجم العينة وثبتت معلمات التوزيع.
٤. نستنتج ان التقدير بنموذج TLR افضل من TLER وذلك لكون $MSE_{TLER} > MSE_{TLE}$ عند $\lambda = 1$ اقل من MSE_{TLE} عند $\lambda = 0.75$.
٥. عندما يكون حجم العينة $n=25,50,100$ وثبتت معلمة القياس وعند المقارنة بين MSE_{TLE} لمقدرات عندما $\lambda = 0.5, 1, 2$ فقد تبين ان المقدرات عندما $\lambda = 0.75$ هي الافضل لامتلاكها اصغر MSE_{TLE} .
٦. لقد تبين ان اطوال الالياف الكاربونية تتبع توزيع TLER.

5. References

- [1] Z.A. AL- Sairy and R.A. Bakoban, "The Topp- Leone generalized inverted exponential distribution with real data applications", *Entropy*, 22 , pp. 1-15, 2020.

- [2] A. AL-Shomrani, O. Arif, A. Shawky, S. Hanif and M.Q. Shahbaz, "Topp-Leone Family of distribution: some properties and Application", *Pak.j.stat.oper.res.* vol. 12, no. 3, pp. 443-451, 2016.
- [3] A. Ahmad, R. Tripathi and A. Afaq, "Topp Leone Power Rayleigh Distribution With Properties And Appligation In Engineering Science", vol. 20, Issue 11, pp. 2853-2877, 2021.
- [4] G.M. Cordeiro and M.de Castro, "A new family of generalized distribution", *J. of stat. comp. and sim.* vol. 81, no. 7, pp. 883-898, 2011.
- [5] G.M. Cordeiro and A.J. Lemonte, "The McDonald inverted beta distribution", *Journal of the Franklin Institute*, 349(3) pp. 1174-1197, 2012.
- [6] N. Eugene, C. Lee and F. Famoye, "Beta-Normal distribution and its applications", *comm.in statist: Theory and Methods*, vol. 31, pp. 497-512, 2002.
- [7] F. Famoye, C. Lee, and O. Olumolade, "The Beta-Weibull Distribution", *Journal of statistical Theory and Applications*, 4(2), pp. 121-136, 2005.
- [8] S. Hanook, M.Q. Shahbaz, M. Mohsin and G. Kibria, "A Note on Beta Inverse Weibull Distribution", *Comm. In Statist :Theory and Methods*, 42(2), pp. 320-335, 2013.
- [9] S. Nadarajah and S. Kotz, "Moments of some J-shaped distribution". *Journal of Applied Statistics*, 30, pp. 311-317. 2003.